

جغرافیا و آمایش شهری - منطقه‌ای شماره ۳، تابستان ۱۳۹۱

وصول مقاله : ۱۳۹۰/۱۰/۱۳

تأیید نهایی : ۱۳۹۱/۶/۹

صفحات : ۶۱ - ۷۴

ژئومورفولوژی، هیدرروژئولوژی و مطالعه فاکتورهای مؤثر بر توسعه کارست در منطقه گرین، غرب ایران

دکتر غلامرضا خانلری^۱، علی اکبر مومنی^۲

چکیده

منطقه گرین در زون زاگرس رورانده و در مرز استان‌های همدان و لرستان قرار دارد. هدف از انجام این پژوهش ارزیابی وضعیت گسترش کارست و پتانسیل آن از منظر ژئومورفولوژی و هیدرروژئولوژی می‌باشد. تکتونیزه شدن شدید در این منطقه و گسترش سنگ‌های کربناته انجال‌پذیر، باعث شده تا کارستی شدن گسترش قبل ملاحظه‌ای داشته و پدیده‌های ژئومورفولوژی کارست نظیر دولین، کارن، غار و چشم‌های کارستی مانند چشم‌ههای گاما‌سیاپ در این منطقه شکل بگیرد. به منظور ارزیابی وضعیت هیدروشیمی آبخوان منطقه، از نتایج آنالیز ۲۶ چشم‌ه استفاده شده است. آنالیز نمونه‌های آب نشان می‌دهد که تیپ آب موجود در اکثر چشم‌های منطقه به صورت بیکربنات کلسیم-منیزیم بوده که با تیپ آب آبخوان‌های کارستی مطابقت دارد. ارزیابی نمایه‌های اشباع کلسیت و دولومیت نشان می‌دهد که منطقه نسبت به این دو کانی تحت اشباع بوده و آب زیرزمینی مسیر زیادی را طی نکرده و به تکامل ژئوشیمیابی نرسیده است. همچنین بر اساس نتایج آزمایش ردیابی، سرعت متوسط جریان آب زیرزمینی در مناطقی که ماده رنگی ردیابی شده است، در محدوده سرعت حرکت آب در نواحی توسعه یافته کارستی قرار دارد و نشان دهنده حاکم بودن رژیم جریان مجرایی می‌باشد.

کلید واژگان: کارست، ژئومورفولوژی، هیدرروژئولوژی، هیدروشیمی، نمایه‌های اشباع.

مقدمه

عنوان یکی از مهمترین پدیده‌های ژئومورفولوژی کارست، پناهگاه انسان‌های اولیه بوده است. بعدها از غارها برای ایجاد معابد و پرستشگاه‌ها بخصوص در جوامع هند و بودایی استفاده گردید. امروزه جاذبه گردشگری سرزمین‌های کارستی از ویژگی‌های مهم این مناطق محسوب می‌گردد. به عنوان مثال از غارهای قوری قلعه (روانسر) و علیصدر (همدان) می‌توان به عنوان جاذبه‌های ژئوتوریسمی مرتبط با کارستی شدن نام برد که هر ساله میزبان هزاران گردشگر داخلی و خارجی هستند.

رخنمون سازنده‌های کارستیک ۲۰ درصد از سطح قاره‌ها را فرا گرفته است (فورد و ویلیامز، ۲۰۰۷: ۵). یازده درصد از مساحت ایران را سازنده‌های کارستی پوشانیده (افراسیابان، ۱۳۷۲: ۱۲۷) که این مقدار در ناحیه زاگرس به ۲۳ درصد می‌رسد (اشجاری و رئیسی، ۲۰۰۶: ۱۱۹). اهمیت پدیده کارست و ذخایر کارستی موجب شد تا در سه دهه گذشته توجه ویژه‌ای به این پدیده گردد که از آن جمله می‌توان به تأسیس مرکز ملی مطالعات و تحقیقات کارست ایران در شیراز و ایجاد دفتر مطالعات و تحقیقات کارست غرب کشور در کرمانشاه اشاره کرد.

کوه گرین از رشته کوه‌های مهم غرب ایران است که بیشتر مساحت آن در شمال استان لرستان و بخشی نیز در استان‌های همدان و کرمانشاه قرار دارد. منطقه مورد مطالعه از غرب به دلفان، از شمال به شهرستان نهادوند، از شرق به شهرستان بروجرد و از جنوب به شهرستان الشتر محدود می‌شود. سراب‌های فراوانی نظیر گاماسیاب، کهمان، ونایی و ... در پای این کوه وجود دارند که آب آشامیدنی و آب مورد نیاز کشاورزی دشت سیلاخور، نهادوند، نورآباد و الشتر را تأمین و رودهای دز و گاماسیاب را تغذیه می‌کنند. هدف از این مطالعه، ارزیابی وضعیت گسترش پدیده کارست و نقش لیتولوژی و تکتونیک در روند تکاملی

واژه کارست در اصطلاح فنی به پدیده خوردگی و انحلال سنگ‌های انحلال‌پذیر، به‌ویژه سنگ‌های کربناته (آهکی و دولومیتی) و تبخیری اطلاق می‌گردد. این پدیده موجب افزایش تخلخل در سنگ شده و شرایط هیدرولوژی و سیمای متمایزی را برای سرزمین‌های کارستی در بر دارد. به طور کلی رفتار و ساختار کارست را می‌توان از چند منظر مورد بررسی قرار داد. کارست را می‌توان منبع مناسبی برای تأمین آب در نظر گرفت. سرزمین‌های کارستی آب آشامیدنی ۲۵ درصد از جمعیت جهان را تأمین می‌کنند (فورد و ولیامز، ۲۰۰۷: ۱)، در مدیترانه و قسمت‌های جنوب شرقی آسیا، آبخوان‌های کارستی اصلی‌ترین منابع تأمین آب شرب را تشکیل می‌دهند (کریستوف، ۲۰۰۸: ۲۰۳). بسیاری از شهرها و روستاهای مناطق غربی کشور نظیر استان‌های شیراز، کرمانشاه و مناطق وسیعی از اسلام، لرستان و کردستان از منابع آب کارست تغذیه می‌کنند. این جنبه از پدیده کارست توسط محققان زیادی مورد بررسی قرار گرفته است (افراسیابان، ۱۳۷۴: ۶۷۴؛ رئیسی، ۲۰۰۸: ۶۳؛ فورد و ولیامز، ۲۰۰۷: میلانویچ، ۱۹۸۱). از منظر خطرات کارست باید به عملکرد مهندسی این پدیده توجه نمود. به هنگام احداث سازه‌هایی نظیر سد و تونل در مناطق کارستی، مسأله فرار آب از سد و هجوم آب به داخل تونل از جمله چالش‌هایی است که مهندسان با آن روبرو هستند (میلانویچ، ۲۰۰۴: قبادی و همکاران، ۲۰۰۵: ۱۲۰؛ کریمی و همکاران، ۲۰۰۷: ۲۷۰؛ محمدی و رئیسی، ۲۰۰۷: ۳۰۵). محیط‌های کارستی خاستگاه کانسارهای فلزی و غیر فلزی زیادی هستند که عمدتاً به صورت پلاسر در این محیط‌ها انباسته شده است. همچنین بیش از ۵۰ درصد از نفت و گاز دنیا از سنگ‌های کربناته استخراج می‌شود که با پدیده کارستی شدن ارتباط دارد (طاهری و رئیسی، ۱۳۸۹: ۴). کارست از نظر فرهنگی نیز اهمیت دارد. غارها به

ژوراسیک تا کواترنر) در منطقه بروند داشته باشند (شکل ۱). گسل‌های موجود در منطقه شامل گسل‌های تراستی اصلی منطقه که شاخه‌ای از راندگی اصلی زاگرس است، و گسلهای امتداد لغز مرتبط با گسل جوان زاگرس هستند که دارای شبیه زیادی می‌باشند (بهیاری و مجل، ۱۳۸۷: ۴۷۹). از نظر ژئومورفولوژی به علت عملکرد گسل‌های تراستی، این منطقه را می‌توان به دو بخش کوهستان و دشت تقسیم نمود. واحدهای زمین‌شناسی موجود در منطقه از نظر هیدروژئولوژیکی به صورت نفوذپذیر، نیمه نفوذپذیر تا نفوذناپذیر تقسیم می‌شوند.

واحدهای نفوذپذیر

بیش از ۹۰ درصد منطقه مورد مطالعه از سنگ‌های کربناته (ژوراسیک تا میوسن) تشکیل شده است. این سنگ‌ها به دلیل عملکرد شدید تکتونیک، بشدت خرد شده و تخلخل ثانویه بالایی دارند. بیشترین وسعت سنگ‌های کربناته مربوط به سنگ‌های دولومیتی و آهک‌های ژوراسیک پایینی است که معادل دولومیت‌های سازند نیز و کربنات‌های سازند سورمه می‌باشند. این دو واحد توسط کمربندی از رادیولاریت از یکدیگر جدا شده‌اند. دامنه شمالی کوه گرین به طور کلی از سنگ‌های آهکی اولیگوسن- میوسن تشکیل شده است. این واحدها شامل دو بخش (OML) و (OMm) می‌باشند. بخش OML عمدتاً از دولومیت‌های ضخیم می‌باشد. سنگ آهک و میان‌لایه‌های سنگ آهک مارنی و مارن تشکیل شده است. بخش OMm بالاترین واحد لیتولوژی اولیگوسن- میوسن است که دارای لیتولوژی آهکی، آهک مارنی با میان لایه‌های ماسه سنگی می‌باشد. این بخش از ضخامتی بیش از ۱۰۰۰ متر تشکیل شده و در راستای گسله زاگرس در کنار سنگ‌های رسوبی- آتشفسانی کرتاسه قرار گرفته است (موسیوند، ۱۳۸۵: ۲۳-۱۹) (اشکال ۱ و ۸).

این پدیده، به ویژه از دیدگاه هیدروژئولوژی و ژئومورفولوژی در منطقه کارستی گرین می‌باشد.

مواد و روش‌ها

این پژوهش در چهار بخش مطالعات کتابخانه‌ای، میدانی، تحلیل‌های نرم افزاری و جمع‌بندی و نتیجه-گیری انجام گردید. مطالعات کتابخانه‌ای شامل گردآوری کلیه اطلاعات موجود از منطقه شامل نقشه زمین‌شناسی، نتایج آنالیزهای هیدروشیمی برخی از چشم‌های موجود و نتایج ردیابی انجام شده در منطقه بوده است. مطالعات میدانی، بازدیدهای صحراوی از منطقه مورد نظر، نمونه‌برداری از برخی چشم‌های منظور آنالیز هیدروشیمی و صورت‌برداری از پدیده‌های ژئومورفولوژی کارست موجود در منطقه را شامل می‌شود. برای این منظور، ابعاد و شکل هندسی این پدیده‌ها مشخص شد و چگونگی ارتباط آنها با سیستم-های ناپیوستگی ارزیابی گردید. در بخش آنالیز نرم افزاری ابتدا با استفاده از نرم افزار AqQA تیپ آبی ۲۶ چشمۀ مورد مطالعه مشخص شده و فرایندهای ژئوشیمیایی آبخوان کارستیک بررسی گردید. سپس با استفاده از نرم افزار PHREEQC، اقدام به تهیۀ نمایه-های اشباع کلسیت و دولومیت گردید و نقشه‌تۀ توزیع آنها در منطقه به صورت نقشه‌پهنه بندی با استفاده از نرم افزار ArcGIS تهیۀ شد. نهایتاً بر اساس نتایج به دست آمده از سه مرحلۀ قبلی، وضعیت کارستی شدن منطقه و سیستم حاکم بر جریان هیدروژئولوژیکی منطقه مورد ارزیابی قرار گرفت.

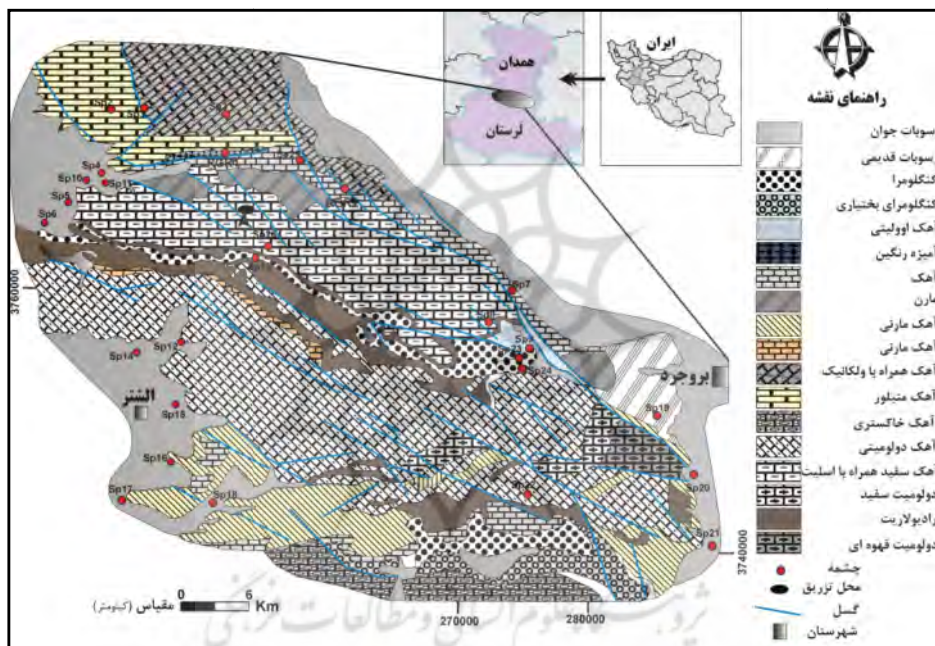
زمین‌شناسی

محدوده مورد مطالعه در مزر زون سنندج- سیرجان و زاگرس مرتفع (کمربند تراستی زاگرس) قرار دارد و هم‌بُری بیش از ۹۰ درصد از واحدها، نتیجه گسلش یا روراندگی است. عملکرد این گسل‌ها باعث شده که واحدهای مربوط به دوران‌های مختلف (تریاس-

هیدروژئولوژیکی مشابه با آنها دارد. در واقع این واحدها به عنوان یک سری موانع هیدروژئولوژیکی عمل نمایند و باعث جدایش حوضه آبگیر چشمه‌ها می‌گردند. با توجه به این که منطقه شدیداً خرد شده است، به دلیل عملکرد شکستگی‌های موجود در این سنگ‌ها، واحدهای ذکر شده در مناطق خرد شده به صورت نیمه نفوذپذیر عمل می‌نمایند.

واحدهای نیمه نفوذپذیر و نفوذناپذیر

مهمترین واحد نفوذناپذیر رادیولاریت‌ها هستند که عمدها در راستای گسله سراسری زاگرس پدیدار شده‌اند. آمیزه رنگین که ستگ‌های تشکیل دهنده آن عبارتند از گابرو، هارزبورژیت و شیل‌های سیلیسی- رادیولاریتی، از واحدهای نفوذناپذیری است که رخنمون زیادی ندارد. علاوه بر واحدهای ذکر شده، مارن‌های اوسن و الیکو-میوسن نیز مشخصات



شکل ۱: نقشه زمین‌شناسی و موقعیت منطقه مورد مطالعه (برگرفته از وزارت نیرو، ۱۳۸۴: ۱۵)

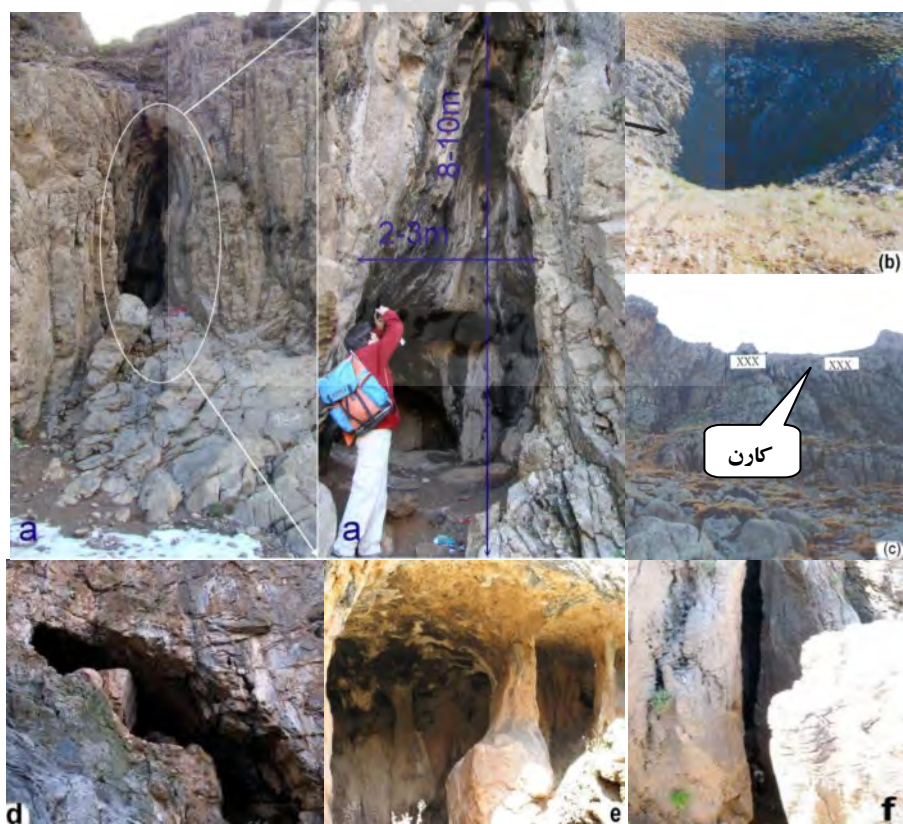
۱۳۸۶: ۱۱۲). چشم‌اندازهای کارستی در منطقه مورد مطالعه، حاصل دخالت مشترک فرایندهای مورفودینامیک درونی و بیرونی در طی زمان است. از جمله مهمترین عوامل درونی مؤثر در شکل‌زایی پدیده‌های کارستی، تکتونیک شکننده و حضور سنگ‌های کربناته می‌باشد. در واقع وجود تکتونیک فعال در منطقه که موجب گسترش شکستگی شده و همچنین گسترش سنگ‌های انحلال پذیر آهکی و دولومیتی در منطقه، باعث گسترش پدیده‌های کارستی مانند فروچاله، کارن، اشکال برجی، دره‌های خشک، چاههای

ژئومورفولوژی کارست

نتیجه عمل کارستی شدن ایجاد یک مورفولوژی یا زمین‌ریخت‌شناسی ویژه است که مناطق کارستی را از نواحی غیر کارستی جدا می‌کند. پدیده‌های کارستیک سطحی و زیر سطحی کلیدی برای درک طبیعت و ژئوپیستم‌های کارستی می‌باشند (آنزال و سلیک، ۲۰۰۸: ۲۶۸). در واقع بین ژئومورفولوژی کارست و تکامل آن ارتباط نزدیکی وجود دارد، به طوری که فراوانی و گسترش پدیده‌های مورفولوژی کارست، از گسترش کارست در ناحیه حکایت دارد (قبادی،

تأثیر سیستم‌های ناپیوستگی بوده است. وجود این حفرات بزرگ نیز تأییدی بر گسترش پدیدهٔ کارستی شدن در این سنگ‌ها می‌باشد. فروچاله‌های موجود در اثر ریزش سقف مجاري کارستی ایجاد شده است. این فروچاله‌ها عمدتاً در قسمت‌های مرتفع کوه گرین مشاهده می‌شوند و در امتداد گسل‌ها و شکستگی‌های اصلی تشکیل شده‌اند (شکل ۲b). کارن‌ها به طور کلی در راستای مهدرزه‌ها به وجود آمده و ژرف‌اند (تا بیشتر از ۱ متر) و از پدیده‌های عمومی در این سنگ‌ها می‌باشند (شکل ۲c). چاه‌های کارستی موجود تقریباً قائم‌اند و عمدتاً عمق آنها از ۵ تا ۸ متر تغییر می‌کند. شیارهای انحلالی بزرگ که عمدتاً در راستای درزه‌های کششی شکل گرفته‌اند، در بسیاری از قسمت‌های منطقهٔ مورد مطالعه مشهود هستند (شکل ۲f). ارزیابی‌های انجام شده نشان می‌دهد که از لحاظ شرایط ژئومورفولوژی، کارست موجود در منطقه از نوع انتقالی است.

کارستی و غارها شده است. مؤثرترین عوامل بیرونی در شکل‌زایی کارست، اقلیم، ارتفاع، شبب، و زمان است. غارها شاخص ترین اشکال تحول کارست محسوب می‌شوند و ابعاد هندسی و شکل آنها به میزان تحول کارست وابسته است. در سنگ‌های کربناته موجود در محدودهٔ مورد مطالعه، غارها گسترش قابل ملاحظه‌ای دارند. با وجود این، اکثر این غارها به دلیل قرار گرفتن در کوهستان‌های بلند و پرشیب و یا بسته شدن دهانه آنها به وسیلهٔ واریزه‌ها ناشناخته مانده‌اند. از مهمترین غارهای موجود در این منطقه می‌توان غار گاماسیاب را نام برد که در گذشته محل خروج چشمۀ کارستی گاماسیاب بوده است. این غار هم اکنون خشک و دارای عرض ۳-۲ متر و ارتفاع ۸-۱۰ متر است و به طور بسیار مشخصی حفره‌های انحلالی در آن دیده می‌شود (شکل ۲a). نمونه‌های دیگری از حفرات غار مانند در شکل ۲d,e نشان داده شده است. همان‌طور که در شکل ۲d دیده می‌شود، شکل‌گیری این حفرات تحت



شکل ۲: پدیده‌های کارستی موجود در منطقه (a) غار گاماسیاب، (b) فروچاله‌های موجود در کوه گرین، (c) کارن، (d,e) حفرات بزرگ غار مانند، (f) شیار انحلالی

که ردیاب تنها در چشمہ امیر و گمانه‌های حفاری شده تشخیص داده شده است (وزارت نیرو، ۱۳۸۴: ۲۱-۱۳). عدم ظهور ردیاب در چشمہ‌های دیگر دلیل قطعی مبنی بر عدم ارتباط هیدرولیکی بین نقطه‌تزریق با این چشمہ‌ها نیست، بلکه دلایل مختلف از جمله این که مقدار ردیاب کم برآورد شده و بیش از حد رقیق شده و یا وجود یک تخلیه دور از انتظار، در برآورد نادرست میزان ردیاب مؤثر بوده است. با وجود این ظهور ردیاب در گمانه‌های حفر شده و چشمہ امیر ارتباط هیدرولیکی را با محل تزریق تأیید می‌کند. زمان ظهور اولین ردیاب در چشمہ امیر ۵۸ ساعت بعد از تزریق است که با توجه به این زمان، حداقل سرعت جریان برابر $5/74$ سانتیمتر بر ثانیه به دست می‌آید (وزارت نیرو، ۱۳۸۴: ۲۳). همان طور که در شکل ۳ دیده می‌شود، منحنی مربوط به این چشمہ سه قله رنگ دارد که نشان دهنده سه مسیر مختلف حرکت آب است. بررسی‌های انجام شده بر روی نتایج به دست آمده از آزمایش ردیابی انجام شده نشان می‌دهد که با توجه به زمان متوسط انتقال، سرعت متوسط جریان $1/6$ سانتیمتر بر ثانیه است که در محدوده سرعت حرکت آب در نواحی توسعه یافته کارستی قرار دارد و نشان دهنده حاکم بودن سیستم جریان مجرایی می‌باشد. در واقع شکستگی‌ها و گسل‌های موجود در کوه گرین، مجاری مناسبی را برای جریان آب به وجود آورده‌اند و نقش مهمی در گسترش پدیده کارستی شدن و ایجاد جریان مجرایی در این ناحیه بر عهده دارند.

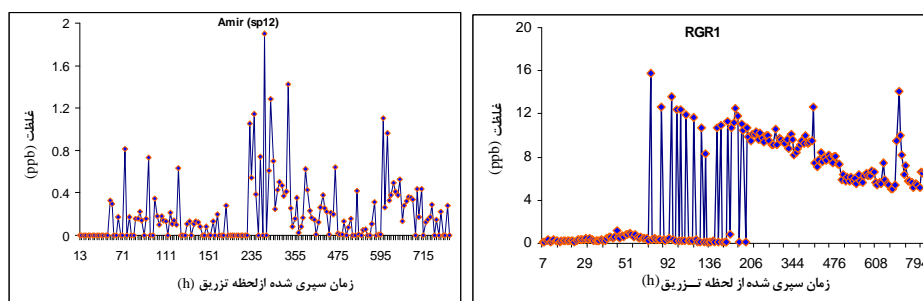
چشمه‌های کارستی

چشمه‌های پر آب از دیگر سیماهای رایج در مناطق کارستیک هستند که در منطقه مورد مطالعه به فراوانی یافت می‌شوند. در این بخش با استفاده از نتایج تست ردیابی و تجزیه و تحلیل نتایج هیدروشیمی چشمehای موجود در محدوده مورد مطالعه، به بررسی وضعیت کارست در منطقه پرداخته می‌شود.

ردیابی

به کار بردن مواد ردیاب برای مطالعه آب‌های زیرزمینی به صورت افزودن مواد ردیاب به آب از یک نقطه و مشاهده آن در نقطه دیگر، همواره ابزاری مفید در تحقیقات هیدروژئولوژیکی بوده است. اطلاعات حاصل از انجام دقیق مطالعات ردیابی می‌تواند ارتباط بین مناطق تغذیه و تخلیه مختلف مانند چشمehا و چاهها را مشخص سازد. به منظور بررسی و تعیین چگونگی ارتباط هیدرولیکی چشمehای موجود در منطقه و پتانسیل فرار آب بعد از ساخت سد گرین واقع در چند صد متری پایین دست چشمه گاماسیاب، یک مرحله عملیات ردیابی انجام شد. برای انجام عملیات ردیابی مقدار 10 کیلوگرم ماده رنگی اورانین در یک آبروچاله واقع در محلی موسوم به گامه‌اهی (شکل ۱) تزریق شده است.

از منابع آب موجود در محدوده مورد مطالعه، تنها از چشمehای گاماسیاب، امیر، کهمان، سفید، چناره، زلزله، کیوار و گمانه‌های RGR1 و RGR2 نمونه‌برداری صورت گرفته شده است. آنالیزها نشان می‌دهد



شکل ۳: منحنی غلظت زمان در چشمه امیر و گمانه RGR1

آبخوان کارستی دارند. از منظر آنیونی در اکثر چشمه‌های منطقهٔ یون بیکربنات آنیون غالب است به طوری که این چشمه‌ها از نظر تیپ آبی، بیکربناته محسوب می‌شوند. با وجود این در چشمه‌های سفید، ونایی و کیوار، آنیون غالب سولفات و در چشمۀ بوریاباف آنیون غالب کلر است و دارای تیپ آبی کلروره می‌باشد. از منظر کاتیونی به جز چشمۀ بوریاباف با کاتیون غالب سدیم و رخساره سدیک، بقیۀ چشمه‌ها کاتیون غالب کلسیم و منیزم و رخساره کلسیک و منیزیک است. در واقع وجود کلسیت و دولومیت در گستره مورد بررسی، باعث شده تا این کانی‌ها در تماس با آب‌های غنی از CO_2 حل شوند. لذا تیپ و رخساره آبی اکثر چشمه‌ها به صورت بیکربنات کلسیک و منیزیک است. نکته حائز اهمیت کم بودن میزان مواد محلول در این چشمه‌ها است که نشان دهندهٔ نزدیکی محل تغذیه و تخلیه می‌باشد.

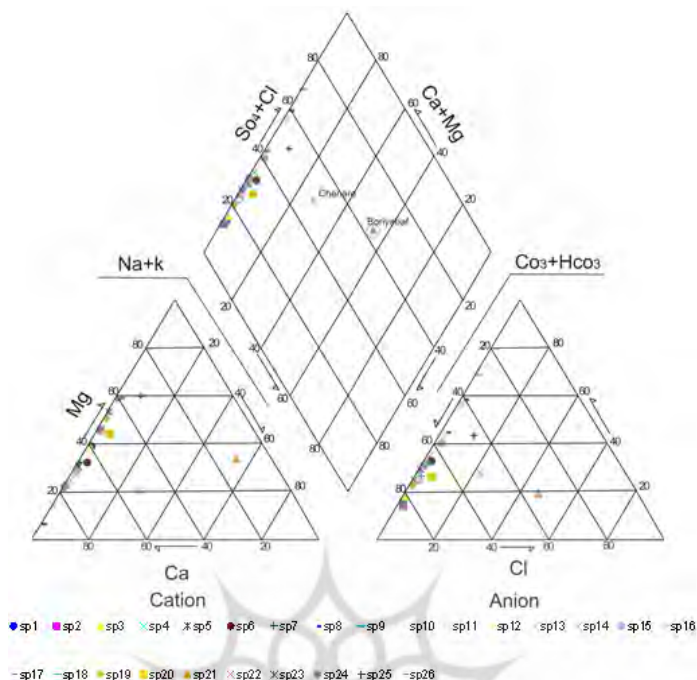
هیدروشیمی منابع آب موجود

طی سه دهه گذشته، مطالعات زیادی به منظور تعیین مشخصات آبخوان کارستی با استفاده از خصوصیات فیزیکی و شیمیایی چشمه‌ها انجام شده است (رئیسی و همکاران، ۱۹۹۳: ۱۷-۱۸). داده‌های هیدروشیمیایی به دست آمده از آبخوان، می‌تواند برای تفسیر سیر تکاملی آبخوان به کار گرفته شود. برای بررسی خصوصیات هیدروشیمی چشمه‌های موجود در کوه گرین از نتایج آنالیز موجود (آذر ماه ۸۳) استفاده شده است (جدول ۱). همچنین برای تعیین چگونگی ارتباط لایه‌های آبدار و تعیین رخساره و تیپ آبی چشمه‌ها، نمودار پایپر ترسیم گردید (شکل ۴).

محدوده هدایت الکتریکی آب‌های کارستی معمولاً کمتر از ۵۰۰ میکرومöhس بر سانتیمتر است (کریمی و توکلی، ۱۳۸۶: ۳۱۶). همان طور که در جدول ۱ ملاحظه می‌گردد، تمام چشمه‌های مذکور مشخصات

جدول ۱: مشخصات فیزیکوشیمیایی چشمه‌های موجود در محدودهٔ مورد بررسی در آذر ماه ۱۳۸۳ (وزارت نیرو، ۱۳۸۴)

| Spring name | code | EC ($\mu\text{s}/\text{cm}$) | pH | Q (l/s) | meq/l | | | | | | |
|-------------|------|--------------------------------|------|---------|------------------|------|-----------------|-------|-----|------|------|
| | | | | | HCO ₃ | Cl | SO ₄ | Na | K | Ca | Mg |
| Taf | Sp1 | 183 | 7.21 | 20 | 2.74 | 0.04 | 0.54 | 0.04 | 0 | 1.84 | 1.2 |
| Banafshe | Sp2 | 256 | 7.4 | 67 | 3.7 | 0.1 | 0.62 | 0.05 | 0 | 2.32 | 2 |
| Gerdekane | Sp3 | 188 | 7.39 | 32 | 3 | 0.04 | 0.66 | 0.04 | 0 | 2.16 | 1.36 |
| Dogh | Sp4 | 182 | 6.53 | 15 | 2.2 | 0.04 | 1.2 | 0.03 | 0 | 2.4 | 0.8 |
| Niyaz | Sp5 | 187 | 6.43 | 494 | 2.48 | 0.04 | 1.12 | 0.03 | 0 | 2.32 | 1.04 |
| Tajamir | Sp6 | 189 | 7.06 | 138 | 2.28 | 0.1 | 1.16 | 0.11 | 0 | 2.24 | 1.12 |
| Kartil | Sp7 | 148 | 6.25 | 436 | 2.36 | 0.08 | 0.88 | 0.02 | 0 | 2 | 0.96 |
| Sefid | Sp8 | 130 | 6.67 | 143 | 1.04 | 0.04 | 1.52 | 0.01 | 0 | 2.24 | 0.16 |
| Vennai | Sp9 | 157 | 7.3 | 760 | 0.96 | 0.04 | 2.22 | 0.02 | 0 | 2.4 | 0.72 |
| Zelzele | Sp10 | 179 | 6.3 | 37 | 2.12 | 0.06 | 1.7 | 0.03 | 0 | 2.48 | 0.96 |
| Kivar | Sp11 | 169 | 6.26 | 28 | 1.44 | 0.04 | 1.92 | 0.02 | 0 | 2.4 | 0.72 |
| Amir | Sp12 | 181 | 6.77 | 251 | 2.38 | 0.14 | 1.72 | 0.05 | 0 | 2.4 | 1.52 |
| Khasan | Sp13 | 136 | 6.05 | 158 | 2.22 | 0.04 | 0.86 | 0.01 | 0 | 2.4 | 0.4 |
| Chenare | Sp14 | 278 | 6.1 | 179 | 2.7 | 1.2 | 1.52 | 1 | 0.5 | 2.88 | 1.12 |
| Sorkhe | Sp15 | 171 | 5.85 | 28 | 1.82 | 0.08 | 1.28 | 0.04 | 0 | 2.16 | 0.88 |
| Papi | Sp16 | 220 | 6.27 | 71.2 | 3.18 | 0.16 | 1.08 | 0.11 | 0 | 2.24 | 1.92 |
| Siyahposh | Sp17 | 256 | 6.4 | 43.5 | 2.46 | 0.1 | 2.08 | 0.011 | 0 | 2.16 | 3.04 |
| Honom | Sp18 | 189 | 6.26 | 244 | 2.88 | 0.08 | 0.94 | 0.04 | 0 | 1.52 | 2.24 |
| Chenarestan | Sp19 | 185 | 6.6 | 295 | 3.36 | 0.06 | 1 | 0.03 | 0 | 1.92 | 2 |
| Keyvare | Sp20 | 170 | 6.47 | 259 | 2.88 | 0.26 | 1.12 | 0.18 | 0 | 1.84 | 1.6 |
| Boriyabaf | Sp21 | 471 | 7.07 | 80 | 3.6 | 4.96 | 2.04 | 5.25 | 0.2 | 1.2 | 3.36 |
| Absarde | Sp22 | 138 | 7.13 | 450 | 2.6 | 0.02 | 0.88 | 0.02 | 0 | 2.4 | 0.64 |
| Chole | Sp23 | 181 | 6.74 | 650 | 2.42 | 0.02 | 1.02 | 0.01 | 0 | 1.6 | 1.84 |
| Khosravi | Sp24 | 232 | 6.32 | 283 | 2.16 | 0.04 | 1.02 | 0.01 | 0 | 2.48 | 0.72 |
| Gamasiyab | Sp25 | 151 | 7.5 | 1713 | 1.58 | 0.44 | 1.55 | 0.3 | 0 | 1.2 | 2.24 |
| Kahman | Sp26 | 163 | 6.65 | 1030 | 2.62 | 0.08 | 1.26 | 0.05 | 0 | 1.44 | 2.16 |

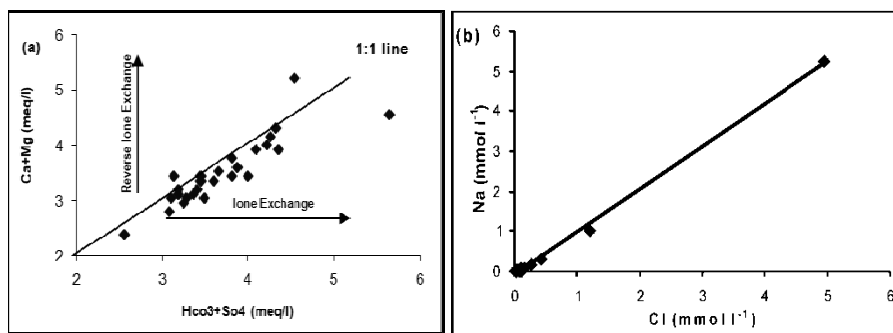


شکل ۴: نمودار پایپر منابع آب محدوده مورد مطالعه

تبادل یونی معکوس را متحمل شده‌اند. همان طور که در شکل (۵a) دیده می‌شود، به جز چشم‌های سیاهپوش و گاماسیاب که در بالای خط ۱:۱ قرار دارند، بقیه چشم‌هایها یا بر روی این خط و یا در زیر آن قرار دارند و متحمل تبادل یونی شده‌اند. در این دو چشم به دلیل رخداد تبادل یونی معکوس، یون کلسیم جانشین یون سدیم شده و باعث می‌شود آب سخت‌تر گردد. رابطه سدیم با کلر برای تشخیص مکانیسم شوری به کار می‌رود (سامی، ۱۹۹۲؛ ۳۲: ۱۹۸۱؛ دیکسون و چیسول، ۱۹۹۲؛ ۳۱۴: ۱۹۹۲؛ مگاریتز و همکاران، ۱۹۸۱: ۱۹۰۴). همان طور که در شکل ۵b دیده می‌شود، این دو یون کاملاً در ارتباط با یکدیگر هستند و غلظت پایین آن احتمالاً ناشی از تبخیر و ناخالصی‌های موجود در کانی‌ها و پرکننده درزه‌ها است.

فرایندهای ژئوشیمیایی منابع آب

در ارزیابی فرایندهای ژئوشیمیایی حاکم بر آبخوان کارستی منطقه از نمودارهای دو متغیره استفاده شده است. آنالیز آماری نشان می‌دهد که ارتباط مؤثری بین برخی از نمودارهای دو متغیره وجود دارد. برای بررسی وضعیت تبادل یونی از نمودار دو متغیره ($\text{Ca}^{2+} + \text{Mg}^{2+}$) در مقابل ($\text{SO}_4^{2-} + \text{HCO}_3^{-}$) استفاده شده است (شکل ۵a). خط ۱:۱ نشان دهنده فرآیندهای انحلال کلسیت، دولومیت و ژیپس است. نمونه‌های واقع در امتداد خط ۱:۱ که دارای مقادیر کمتر از 10 meq/l هستند، نشان دهنده انحلال کلسیت و دولومیت در منطقه است و نیز این که انحلال ژیپس وجود ندارد. نمونه‌هایی که در زیر و بالای خط ۱:۱ قرار دارند، به ترتیب تبادل یونی و

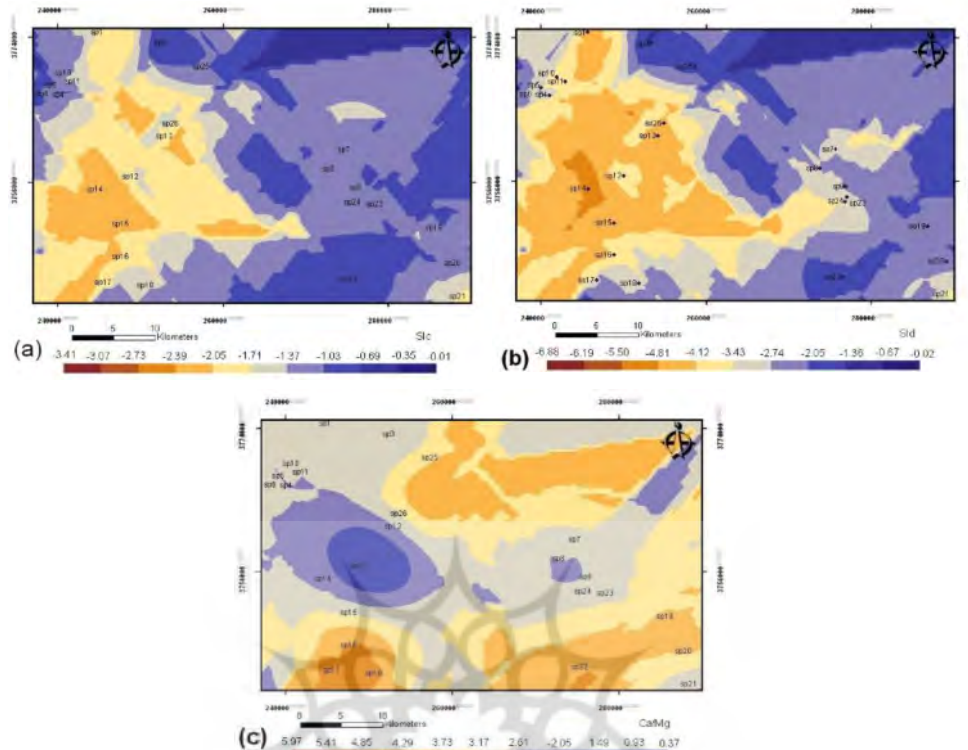


شکل ۵: نمودار دو متغیرهٔ فرایندهای ژئوشیمیایی در منطقه

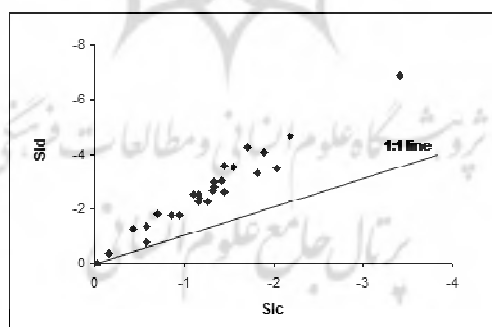
طی نکرده و به تکامل ژئوشیمیایی نرسیده است. به منظور پی بردن به جنس غالب محیطی که آب زیرزمینی در آن جریان دارد، از نسبت مولار یون کلسیم به منیزیم ($M_{\text{Ca}}^{2+}/M_{\text{Mg}}^{2+}$) استفاده شده است. نتایج به دست آمده نشان می‌دهد که این نسبت به طور متوسط ۲ می‌باشد که بیانگر تأمین آب چشمehا از سازندهایی با ترکیب آهک دولومیتی و دولومیت است و پراکندگی این شاخص در منطقه با لیتولوژی موجود همخوانی دارد (شکل ۶c). همان طور که در شکل ۷ دیده می‌شود، تأثیر اتحال دولومیت بر هیدروشیمی آبهای زیرزمینی بیشتر از اتحال کلسیت می‌باشد و این امر با فرایند دولومیتیزاسیون در توافق است.

نمایه‌های اشباع

برای شناسایی عوامل مؤثر بر هیدروشیمی آب زیرزمینی و تعیین تعادل آب در آبخوان، استفاده از مقادیر نمایه‌های اشباع کانی‌های مختلف و بررسی روابط بین آنها بسیار مفید است (کلانتری و همکاران، ۱۳۸۶؛ ۳۴۳-۳۴۷؛ آپلو و پوستما، ۱۹۹۶؛ ۳۶۷؛ جلالی، ۱۴۸۵؛ ۲۰۰۹). به همین منظور، با توجه به لیتولوژی غالب در منطقه، با استفاده از کامپیوتری PHREEQC، اقدام به تهیهٔ نمایه‌های اشباع کلسیت و دولومیت گردیده که توزیع آنها در منطقه مورد مطالعه در شکل ۶ نشان داده شده است. همان طور که در شکل (a,b) ۶ دیده می‌شود، آبخوان نسبت به این دو نمایه تحت اشباع تا اشباع می‌باشد. این مطلب نشان می‌دهد که آب زیرزمینی مسیر زیادی را



شکل ۶: نقشه همپتانسیل برای (a) نمایه SICc با تابع بهینه SIC_e-Exponential (b) نمایه SICc با تابع بهینه Gaussian (c) نسبت مولار کلسیم به منیزیم با تابع بهینه



شکل ۷: نمودار نمایه اشباع کلسیت در مقابل دولومیت

جريان خطی آب، در میان شکستگی‌هایی که دهانه کمتر از ۱ سانتیمتر دارند، وجود دارد. در این رژیم تعداد چشممه‌ها زیاد و میزان آبدهی آنها کم است. جريان افshan به طور نسبتاً یکنواختی از سفره تغذیه می‌شود و تغییرات خصوصیات فیزیکی و شیمیایی آن خیلی کم است. به دلیل عدم گسترش کارست و مجاري کارستی در این سیستم جريان، پدیده‌های ژئومورفیک کارست در حوضه آبریز این چشممه‌ها

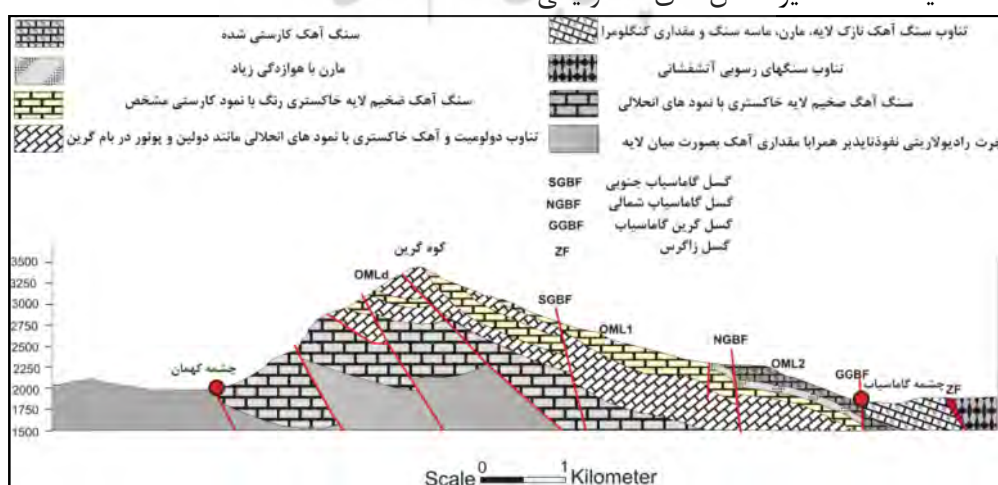
سیستم جريان حاكم بر چشممه‌ها و عوامل مؤثر بر آن

یک سفره کارستی به سه رژیم افshan، مجرایی و مرکب رده‌بندی می‌شود (ASTM، ۱۹۹۵: ۱۷-۱۴، لاموربگس و لاموریکس، ۲۰۰۷: ۶۸۶؛ اتكینسون، ۱۹۹۷: ۱۰۳-۱۰۱؛ رئیسی و کرمی، ۱۹۹۱: ۱۱۲). در یک سیستم افshan

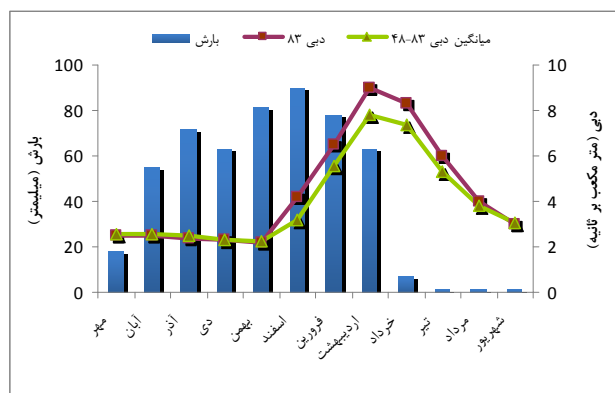
قرار گرفته و شکستگی و درز و شکاف‌های بسیاری در آن ایجاد شده که نقش مؤثری در ورود، ذخیره و گسترش مجاری کارست دارند و اغلب باعث پیدایش پدیده‌های ژئومورفولوژیکی کارستی شده‌اند. با وجود این در چشممه‌هایی که مکانیسم درز و شکافی دارد و با آبدی‌های پایینی همراه هستند، سیستم جریان غالب افشار تا مجرایی می‌باشد. همچنین رده‌بندی کارست موجود در منطقه از منظر تکتونیکی، به صورت کارست کوه‌زایی خرد شده ارزیابی گردیده است.

در شکل ۹ رابطهٔ بین بارش و تخلیه در طول یک سال آبی برای چشممه گاماسیاب نشان داده شده است. همان‌طور که دیده می‌شود، بین حداکثر بارش و حداکثر تخلیه یک اختلاف زمانی تقریباً ۲ ماهه وجود دارد. علت اصلی این اختلاف زمانی، نوع بارش است. با توجه به این که بارندگی در این منطقه غالباً به صورت برف است و مدتی طول می‌کشد تا این برف‌ها ذوب گردند، این تأخیر زمانی بین حداکثر بارش و حداکثر تخلیه به وجود آمده است. از طرفی بخشی از سیستم تغذیه به صورت افشار است و قسمتی از این تاخیر زمانی، ناشی از این رژیم جریان می‌باشد. با وجود این، تغییرات شدید دبی طی سال آبی و آبدی بالای این چشممه نشان دهندهٔ رژیم مجرایی غالب بر سیستم تغذیه این چشممه است زیرا تخلیه زیاد چشممه، نیاز به وجود جریان‌های مجرایی برای تأمین این حجم از آب دارد.

رخمنون چندانی ندارند. جریان آشفته در میان مجاری با بازشدنگی بیشتر از ۱ سانتیمتر جریان دارد و آب زیرزمینی از طریق یک چشممه بزرگ تخلیه می‌شود. ضریب هدایت ویژه و دیگر خصوصیات فیزیکی و شیمیایی در سیستم مجرایی یکنواخت نیست. سیستم مجرایی از طریق فروچاله‌ها و درزه‌های انحلالی موجود در سنگ بر亨ه تغذیه می‌شود (ورتینگتون، ۲۰۰۷؛ ۵۳؛ رئیسی و همکاران ۲۰۰۳: ۱۶-۲۰). سیستم جریان کاملاً افشار یا کاملاً مجرایی به ندرت در طبیعت وجود دارد و معمولاً رژیم غالب در طبیعت ترکیبی از این دو سیستم است. با وجود این، جریان مجرایی را می‌توان به عنوان شاخص جریان موجود در یک کارست بالغ معرفی کرد. مطابق بررسی‌های انجام شده در منطقهٔ مورد مطالعه، ۱۶ چشممه سازوکار گسلی و ۱۰ چشممه مکانیسم درز و شکافی دارند. در واقع گسل‌های موجود در منطقهٔ زهکش‌های اصلی را تشکیل داده و عمدتاً جریان آب در راستای این گسل‌ها تخلیه می‌شوند (شکل ۸). میزان باز شدنگی درزه‌های غالب در منطقهٔ کمتر از ۱ سانتیمتر است. با وجود این، حضور شکستگی‌های بزرگ، درزه‌های انحلال یافته و گسترش گسل‌ها با شبیه زیاد به دلیل قرار گرفتن در زون تراستی باعث شده تا در نواحی گسله و خرد شده، بخش عمدتی از جریان در این مجرای حرکت کند و سیمای رژیم مجرایی غالب‌تر گردد. در واقع لایه‌های کربناته موجود در محدودهٔ مورد مطالعه شدیداً تحت تأثیر تنفس‌های تکتونیکی



شکل ۸: تأثیر لیتوژوژی و گسل در روند حرکت آب زیرزمینی و نحوهٔ زهکشی



شکل ۹: رابطه بین تغییرات میزان آبدهی و بارش در طی سال آبی برای چشممه گاماسیاب

۶- منشأ کلسیم و منیزیم موجود در این چشمه‌ها ناشی از انحلال کلسیت و دولومیت است و در اکثر چشمه‌ها تبادل کاتیونی انجام شده است.

۷- برآورد نمایه‌های اشباع کلسیت و دولومیت نشان می‌دهد که منطقه نسبت به این دو نمایه تحت اشباع می‌باشد و آب زیرزمینی به تکامل ژئوشیمیایی نرسیده است. همچنین تأثیر انحلال دولومیت بر هیدروشیمی آب‌های زیرزمینی بیشتر از انحلال کلسیت می‌باشد.

منابع و مأخذ

- ۱- افراصیابان، احمد (۱۳۷۲). مطالعات و تحقیقات منابع آب کارست در ایران، مجموعه مقالات دومین همایش جهانی منابع آب در سازندگان کارستی، کرمانشاه- تهران.
- ۲- بهیاری، مهدی و محمد محجل (۱۳۸۷). پیدایش ساختارهای Pop up ترافشارشی در زون برخوردي نئوتیپس: مطالعه موردی کوههای گرین در باخت ایران. دوازدهمین همایش انجمن زمین‌شناسی ایران. جلد اول.
- ۳- قبادی، محمد حسین (۱۳۸۶). زمین‌شناسی مهندسی کارست، همدان: انتشارات دانشگاه بوعلی سینا، چاپ اول.
- ۴- طاهری، کمال و عزت الله رئیسی (۱۳۸۹). منابع کارست ایران، مقدمه‌ای بر یک مفهوم. مجموعه مقالات نخستین کنفرانس ملی پژوهش‌های کاربردی منابع آب ایران، کرمانشاه.

نتیجه گیری

با توجه به ارزیابی‌های به عمل آمده از منطقه مورد مطالعه، نتایج زیر به دست آمده است:

- ۱- ژئومورفولوژی کارست در منطقه گسترش دارد و بر اساس رده‌بندی به لحاظ ژئومورفولوژی منطقه مورد مطالعه از نوع کارست انتقالی و همچنین از دیدگاه تکتونیکی در ردء کارست کوهزایی خرد شده می‌باشد.
- ۲- گسل‌ها زهکش‌های اصلی چشمه‌ها هستند و نقش بارزی در افزایش نفوذپذیری، دخیره آب و توسعه کارست در منطقه دارند.
- ۳- بر اساس نتایج آزمایش ردیابی سرعت متوسط جریان آب زیرزمینی در بخش‌هایی که ماده رنگی ردیابی شده است، $1/6$ سانتیمتر بر ثانیه است که در محدوده سرعت حرکت آب در نواحی توسعه یافته کارستی قرار دارد و نشان دهنده حاکم بودن سیستم جریان مجرایی می‌باشد.
- ۴- با توجه به آنالیز هیدروشیمی چشمه‌های منطقه مورد مطالعه، تیپ آب اکثر چشمه‌ها عموماً با تیپ آب آبخوان‌های کارستی مطابقت دارد و به صورت بیکربنات کلسیک-منیزیک است.
- ۵- میزان مواد محلول در چشمه‌ها پایین است که نشان دهنده نزدیکی محل تعذیه با محل تخلیه می‌باشد.

- abutment of the Shahid Abbaspour dam, southern Iran. Eng Geol. 82.
- 18- Karimi, H. Keshavarz, T. Mohammadi, Z. Raeisi, E (2007). Potential leakage at the Khersan 3 Dam Site, Iran: a hydrogeological approach. Bull Eng Geol Environ. 66.
- 19- Lamoreaux, P.E. Lamoreaux, J (2007) Karst: the foundation for concepts in hydrogeology. Bull Eng Geol Environ, 51.
- 20- Magaritz, M. Nadler, A. Koyumdjisky, H. Dan, N (1981) The use of Na/Cl ratio to trace solute sources in a semiarid zone. Water Resour Res, 17.
- 21- Milanovic, PT (1981). Karst hydrogeology. Water Resources Pubs, Fort Collins, Colo.
- 22- Milanovic, PT (2004). Water resources engineering in karst. CRC.
- 23- Mohammadi Z, Raeisi E (2007). Hydrogeological uncertainties in delineation of leakage at karst dam sites, the Zagros Region, Iran. Journal of Cave and Karst Studies. 69(3).
- 24- Raeisi, E. Pezeshkpoure, P. Moore, F (1993) Characteristics of karst aquifer as indicated temporal changes of the spring's physico-chemical parameters. International journal of science, Shiraz University, 17(1).
- 25- Raeisi, E. Karami, G. H (1997) Hydrochemographs of Bergan karst spring as indicators of aquifer characteristics. Cave and karst science, 59(3).
- 26- Raeisi, E, Karimi, H, Zare,M (2003) Hydrodynamic behavior of the Gilan karst spring, west of the Zagros. Iran. Cave and karst science, 3(1).
- 27- Raeisi, E, (2008) Groundwater storage calculation in karst aquifers with alluvium or No-flow boundaries. Cave and karst science, 63(3).
- 28- Sami K (1992) Recharge mechanisms and geochemical processes in a semi-arid sedimentary basin, Eastern cape, South Africa. Journal of Hydrology, 139.
- 29- Unsal, N, Celik, M (2008) Hydrochemistry along the flow path of a confined aquifer, Duzce plain, north western Turkey. Bull Eng Geol Environ, 67.
- 30- Worthington, S.R.H (1991) Karst hydrogeology of the Canadian rocky mountains. Ph.D thesis, McMaster Univversity, USA.
- 31- Worthington, S.R.H (2007) Ground-water residence time in unconfined carbonate aquifers. Journal of cave and karst studies, 69(1).
- 5- کریمی، حاجی و محسن توکلی (۱۳۸۶). بررسی منشأ آب‌های ظاهر شده در تونل آببر نیروگاه سیمراه، نشریه زمین‌شناسی مهندسی، جلد دوم.
- 6- کلانتری، نصرالله؛ رحیمی، محمدحسین و چرچی، عباس (۱۳۸۶). «استفاده از دیاگرام‌های ترکیبی، تحلیل عاملی و نمایه‌های اشباع در ارزیابی کیفی آب زیرزمینی دشت‌های زویرچری و خران»، نشریه زمین‌شناسی مهندسی، جلد دوم.
- 7- موسیوند، محمد صادق (۱۳۸۵). «بررسی زمین‌شناسی مهندسی ساختگاه سد گرین نهاند»، پایان نامه کارشناسی ارشد، دانشگاه بوعالی سینا.
- 8- وزارت نیرو، شرکت سهامی آب منطقه‌ای غرب، (۱۳۸۴). «گزارش مطالعات ریابی طرح سد مخزنی گرین»، مهندسین مشاور گمانه کاو.
- 9- Afrasiabian, A (2007). The importance of protection and management of karst water as drinking water resource in Iran, Environ. Geol. 52.
- 10- Appelo, C.A.J. Postma D (1996) Geochemistry, groundwater and pollution. Balkema, Rotterdam.
- 11- Ashjari, J. Raeisi, E (2006). Influences of anticlinal structure on regional flow, Zagros, Iran. Cave and karst science, 68(3).
- 12- Atkinson, T. C (1997) Diffuse flow and conduit flow in limestone terrain in the Mendip Hills. Journal of Hydrology, 35.
- 13- ASTM. (1995) ASTM D5717-95 Standard guide for design of groundwater monitoring system in karst and fractured rock aquifers. The American society for testing and materials.
- 14- Christophe, J. G. Darnault (2008). Krast aquifer: hydrogeology and exploitation, overexploitation and contamination of shared groundwater resource. NATO Science for peace and security series.
- 15- Dixon W, Chiswell B (1992) The use of hydrochemical sections to identify recharge areas and saline intrusions in alluvial aquifers, southeast Queensland, Australia. Journal of Hydrology, 130.
- 16- Ford D.C, Williams PW (2007) Karst geomorphology and hydrology. Unwin Hyman, London
- 17- Ghobadi M.H., Khanlari, G.R., Djalaly, H (2005) Seepage problems in the right